

## ТЕОРЕТИЧЕСКАЯ И МАТЕМАТИЧЕСКАЯ ФИЗИКА

УДК 517.958; 621.372.8

## О РЕЗОНАНСНЫХ СВОЙСТВАХ ВОЛНОВОДА СО ВСТАВКОЙ

А. Н. Боголюбов, Д. И. Ермишин, М. Д. Малых

(кафедра математики)

**Построено явное решение задачи о возбуждении колебаний током в волноводе с заполнением типа локально-неоднородной вставки. Рассмотрены резонансные характеристики этой задачи.**

Хорошо известно, что при резонансных частотах амплитуда вынужденных колебаний поля в волноводе растет как  $t$  или как  $\sqrt{t}$  (см. [1]). Частоты, близкие к резонансным, тоже обладают рядом примечательных свойств, изучению которых и посвящена данная работа.

Весьма распространенным на практике является случай, когда в полый волновод

$$\Omega = \{x \in \mathbb{R}^1, y \in S\}$$

постоянного сечения  $S$ , заполненный однородным веществом с  $q = 1$ , перпендикулярно к оси  $Ox$  вставлена одна или несколько пластин с различными  $q \neq 1$ , т. е.  $q(x)$  является кусочно-постоянной функцией  $x$ . В этом и даже более общем случае, когда  $q(x, y)$  кусочно-непрерывна и зависит только от  $x$ , можно доказать существование бесконечной последовательности резонансных частот, если  $q(x) \geq 1$  и  $q(x) \not\equiv 1$  (см. [2, 3 раздел 2.2, 4]).

Рассмотрим теперь следующую задачу о возбуждении колебаний финитным током  $f(x, y)e^{-i\omega t}$ :

$$\Delta u + \omega^2 q(x)u = f, \quad (x, y) \in \Omega, \quad (1)$$

$$u|_{\partial\Omega} = 0,$$

удовлетворяющее вдоль разрывов условиям сопряжения

$$[u] = \left[ \frac{\partial u}{\partial x} \right] = 0$$

и парциальным условиям излучения на бесконечности, и выясним, чем отличаются ее решения при частотах, близких к резонансным и удаленных от них.

Сначала рассмотрим тот случай, когда распределение тока действует на ловушку извне, т. е. носители  $f$  и  $q - 1$  не пересекаются.

Расположим оси так, чтобы ловушка  $q - 1 \neq 0$  лежала при  $x > 0$ , а распределение тока  $f$  — при  $x < -l$ . В силу фредгольмовости задачи (1) ее решение существует при всех нерезонансных частотах. Поэтому, следуя методу, развитому в [2], его можно разложить в ряд по собственным функциям  $\psi_n$  задачи Дирихле на сечении  $S$ :

$$u(x, y; \lambda) = \sum_{n=1}^{+\infty} u_n(x; \lambda) \psi_n(y),$$

где  $\alpha_n^2$  — соответствующие собственные значения, а  $u_n(x; \lambda) \in L^2(\mathbb{R}^1) \cap C^1(\mathbb{R}^1)$ . Для них из (1) получаем задачу

$$u_n'' + (\omega^2 q - \alpha_n^2) u_n = f_n \quad (2)$$

с парциальными условиями излучения

$$u_n \sim e^{-\gamma'(\omega)|x|},$$

где  $\gamma' = \sqrt{\alpha_n^2 - \omega^2}$  в смысле главного значения. Поскольку эти задачи при различных  $n$  независимы, можно всегда считать, что  $f_n$  имеет вид  $f(x)\psi_n(y)$ , а общий случай рассматривать как суперпозицию таких токов.

Для того чтобы вычислить  $u(x)$  при различных токах вида  $f(x)\psi_n(y)$ , рассмотрим две вспомогательные задачи.

I. При  $x < 0$

$$u'' + (\omega^2 - \alpha^2)u = f, \quad u|_{x=0} = \mu, \quad (3)$$

$$u \sim e^{\gamma'(\omega)x} \text{ при } x = -\infty,$$

где  $\alpha$  — параметр, равный одному из  $\alpha_n$ , а  $\mu$  — пока произвольный параметр. Решение уравнения

$$u'' + (\omega^2 - \alpha^2)u = f$$

строится методом вариации постоянных, и поэтому оно имеет вид

$$u(x) = \left[ -\frac{1}{2\gamma'} \int_0^x f(z)e^{\gamma' z} dz + C_1 \right] e^{-\gamma' x} + \\ + \left[ \frac{1}{2\gamma'} \int_0^x f(z)e^{-\gamma' z} dz + C_2 \right] e^{\gamma' x}.$$

Учитывая условия излучения и условие при  $x = 0$ , получаем

$$u(x) = -\frac{1}{2\gamma'} \left[ \int_0^x f(z)e^{\gamma' z} dz + F \right] e^{-\gamma' x} + \\ + \left[ \mu + \frac{1}{2\gamma'} \left( \int_0^x f(z)e^{-\gamma' z} dz + F \right) \right] e^{\gamma' x}.$$

Для производной в точке  $x = 0$  имеем

$$\frac{\partial u}{\partial x} \Big|_{x=0} = \gamma' \mu + F. \quad (4)$$

II. При  $x > 0$

$$\begin{aligned} u'' + (\omega^2 q(x) - \alpha^2)u &= 0, \\ u|_{x=0} &= \mu, \\ u &\sim e^{\gamma'(\omega)x} \text{ при } x = +\infty. \end{aligned} \quad (5)$$

Решение этой задачи можно получить, сшивая решения при различных  $q$ . Так, в частности, в случае простой вставки, когда

$$q(x) = \begin{cases} q, & x \in (0, 2), \\ 1 & \text{иначе,} \end{cases} \quad (6)$$

решение неизбежно имеет вид

$$u(x) = \begin{cases} \mu \cos(\gamma x) + C_1 \sin(\gamma x), & x \in (0, 2), \\ C_2 e^{-\gamma' x} & \text{иначе,} \end{cases}$$

где  $\gamma = \sqrt{\omega^2 q - \alpha^2}$ . Здесь константы  $C_1$  и  $C_2$  определяются условиями сопряжения при  $x = 2$ :

$$C_1 = \mu \frac{\gamma \sin 2\gamma - \gamma' \cos 2\gamma}{\gamma' \sin 2\gamma + \gamma \cos 2\gamma} \equiv \mu R(\omega),$$

$$C_2 = \mu (\cos 2\gamma - R(\omega) \sin 2\gamma) e^{2\gamma'}.$$

Поэтому решение при малых  $x$  имеет вид

$$u = \mu \{ \cos \gamma x + R(\omega) \sin \gamma x \}$$

и

$$\frac{\partial u}{\partial x} \Big|_{x=0} = \mu \gamma R. \quad (7)$$

Приравнивая правые части (4) и (7), мы получаем уравнение для определения параметра  $\mu$ . Это уравнение линейное, поэтому решение его пишется сразу:

$$\mu = \rho(\omega) F[f],$$

где

$$\rho = -\frac{\gamma' \sin 2\gamma + \gamma \cos 2\gamma}{(\gamma'^2 - \gamma^2) \sin 2\gamma + 2\gamma \gamma' \cos 2\gamma}.$$

(Заметим сразу, что  $\rho$  не зависит от выбора  $f$ , а  $F$  является целой функцией  $\gamma'(\omega)$  и, следовательно, не обращается в бесконечность при конечных частотах.) Тем самым построение решения исходной задачи завершено.

Свойства решения существенно различны при  $\omega < \alpha$  и  $\omega > \alpha$ . Рассмотрим эти случаи раздельно.

1. Область резонансов  $\omega < \alpha$ . Решение существует при всех  $\omega$ , отличных от резонансных частот, вычисленных в [2], — это в точности корни знаменателя  $\rho(\omega)$ . При больших  $|x|$  решение экспоненциально убывает; почти при всех частотах поле не проникает сколько-нибудь существенным образом внутрь

ловушки, исключение составляют частоты, близкие к резонансным (рис. 1). Способность проникновения поля в ловушку удобно характеризовать значениями  $\rho$ . Обратим внимание на то, что график зависимости  $\rho$  от  $\omega$  имеет очень крутые максимумы (рис. 2). К сожалению, отмеченный эффект пропадает при росте расстояния  $l$ ; это связано с экспоненциальным убыванием  $F[f]$  как функции  $l$ . Поэтому в задачах, близких к пределу задач теории дифракции ( $l = \infty$ ), поле не проникает в ловушку при всех частотах, отличных от резонансных.

2. Область излучения  $\omega > \alpha$ . Решение существует при всех  $\omega$ , но соотношение между амплитудами волны, прошедшей через ловушку (т. е. поле  $u$  при

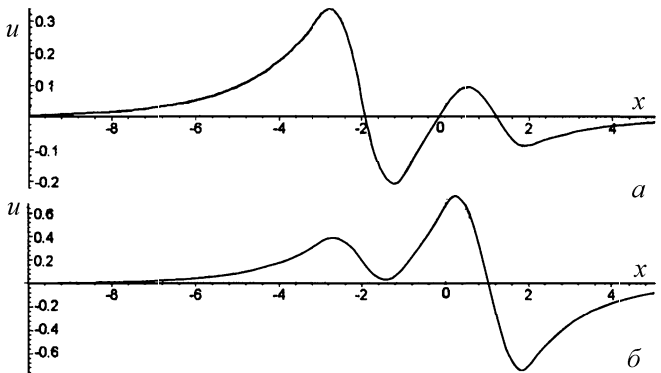


Рис. 1. Вид  $u(x)$ : (а) при обычной частоте ( $\omega = 0.8$ ); (б) при частоте, близкой к резонансной ( $\omega = 0.7$ )

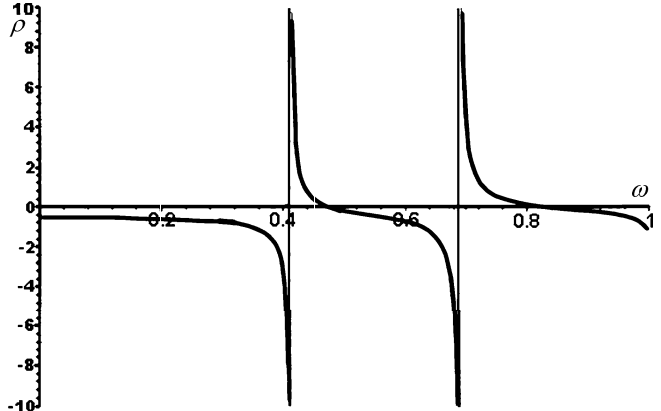


Рис. 2. График зависимости  $\rho$  от частоты  $\omega$

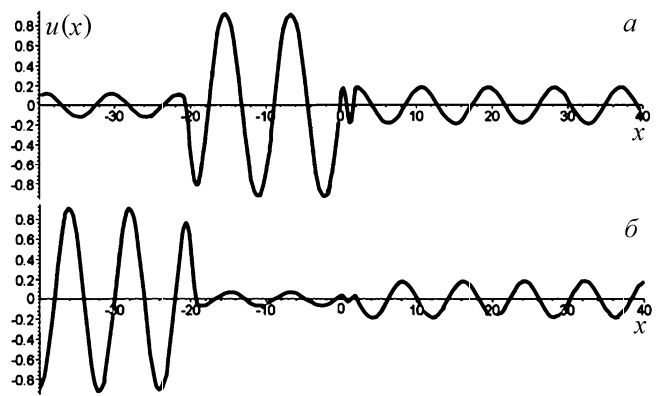


Рис. 3. Вид  $u(x)$  в случае: (а) максимума  $\rho$  ( $\omega = 1.23$ ); (б) минимума  $\rho$  ( $\omega = 1.27$ )

$x > 2$ ), и волны, отраженной от ловушки (т. е. поле  $u$  при  $x \ll 0$ ), существенно зависят от частоты. При одних частотах почти все поле отражается, при других почти все проходит сквозь ловушку (рис. 3).

Таким образом, свойства, подобные резонансным, сохраняются и при частотах больших  $\alpha$ , только теперь численные значения максимумов прохождения через ловушку существенно зависят от  $f$ .

Рассмотрим теперь случай, когда носители  $f$  и  $q - 1$  пересекаются, т. е., например, для уже рассмотренной нами вставки (6) возьмем функцию следующего вида:

$$f(x) = \begin{cases} \varphi(x), & x \in (0, a), \\ 0 & \text{иначе,} \end{cases}$$

где  $a$  — ширина волновода. Для определенности положим  $a = 2$ .

Аналогично изложенному выше для  $u_n(x; \lambda)$  из (1) получаем задачу (2). Теперь уже, чтобы вычислить  $u(x)$  при различных токах вида  $f(x)\psi_n(y)$ , удобнее рассмотреть вспомогательные задачи в несколько ином порядке.

I. При  $x < 0$

$$u'' + (\omega^2 - \alpha^2)u = 0,$$

$$u|_{x=0} = \mu_1,$$

$$u \sim e^{\gamma'(\omega)x} \text{ при } x = -\infty.$$

Решение этой системы, а также его производная имеют вид

$$\begin{aligned} u(x) &= \mu_1 e^{\gamma'(\omega)x}, \\ \frac{\partial u}{\partial x} &= \mu_1 \gamma'(\omega) e^{\gamma'(\omega)x}. \end{aligned} \quad (8)$$

II. При  $x > 2$

$$u'' + (\omega^2 - \alpha^2)u = 0,$$

$$u|_{x=2} = \mu_2,$$

$$u \sim e^{-\gamma'(\omega)x} \text{ при } x = +\infty.$$

Решение этой системы аналогично предыдущей имеет вид

$$\begin{aligned} u(x) &= \mu_2 e^{-\gamma'(\omega)x}, \\ \frac{\partial u}{\partial x} &= -\mu_2 \gamma'(\omega) e^{-\gamma'(\omega)x}. \end{aligned} \quad (9)$$

Коэффициенты  $\mu_1$  и  $\mu_2$  — некоторые константы, которые еще надо будет определить.

III. При  $0 < x < 2$

$$u'' + (\omega^2 q(x) - \alpha^2)u = f,$$

$$u|_{x=0} = \mu_1,$$

$$u|_{x=2} = \mu_2.$$

Используя метод вариации постоянных, получаем следующий вид решения:

$$\begin{aligned} u(x) &= \left[ -\frac{1}{2\gamma} \int_0^x f(z) e^{\gamma z} dz + C_1 \right] e^{-\gamma x} + \\ &+ \left[ \frac{1}{2\gamma} \int_0^x f(z) e^{-\gamma z} dz + C_2 \right] e^{\gamma x}. \end{aligned}$$

Константы  $C_1$  и  $C_2$  выражаются из условий сопряжения (8) и (9) при  $x = 0$ :

$$\begin{cases} C_1 = \mu_1 \frac{\gamma - \gamma'}{2\gamma}, \\ C_2 = \mu_1 \frac{\gamma + \gamma'}{2\gamma}. \end{cases}$$

Решение принимает вид

$$\begin{aligned} u(x) &= \left[ -\frac{1}{2\gamma} \int_0^x f(z) e^{\gamma z} dz + \mu_1 \frac{\gamma - \gamma'}{2\gamma} \right] e^{-\gamma x} + \\ &+ \left[ \frac{1}{2\gamma} \int_0^x f(z) e^{-\gamma z} dz + \mu_1 \frac{\gamma + \gamma'}{2\gamma} \right] e^{\gamma x}. \end{aligned} \quad (10)$$

Остается только найти параметры  $\mu_1$  и  $\mu_2$ , которые выражаются из условий сопряжения (9) и (10) в точке  $x = 2$ :

$$\begin{cases} \mu_1 = \frac{e^{-2\gamma} F_+(\gamma' - \gamma) - e^{2\gamma} F_-(\gamma' + \gamma)}{e^{2\gamma}(\gamma' + \gamma)^2 - e^{-2\gamma}(\gamma' - \gamma)^2}, \\ \mu_2 = e^{2(\gamma' + \gamma)} \frac{1}{\gamma - \gamma'} (F_- + \mu_1(\gamma' + \gamma)), \end{cases}$$

$$\text{где } F_+ = \int_0^2 f(z) e^{\gamma z} dz \text{ и } F_- = \int_0^2 f(z) e^{-\gamma z} dz.$$

Рассмотрим опять же раздельно случаи  $\omega < \alpha$  и  $\omega > \alpha$ .

1. Область резонансов  $\omega < \alpha$ . Решение существует при всех нерезонансных частотах, но теперь поведение решения при частотах, близких к резонансным, сильно зависит от характера функции  $f$ . Это хорошо видно по графикам зависимости амплитуды  $\mu_1$  от частоты  $\omega$ . На рис. 4 изображены зависимости для различных носителей  $f$  вида

$$f(x) = \begin{cases} \varphi(x), & x \in (0, a), \\ 0 & \text{иначе.} \end{cases}$$

Для  $\varphi(x) = f_0 \sin(\pi \frac{x}{a})$  при второй резонансной частоте правая часть уравнения оказывается ортогональной собственным функциям, и резонанса при этой частоте не наблюдается.

Если же взять  $\varphi(x) = f_0 \sin(2\pi \frac{x}{a})$ , то наоборот: резонанс пропадает для первой частоты, так как при ней функция  $f$  ортогональна собственным функциям.

На рис. 4 также показан случай, когда  $f$  уже не является ортогональной собственным функциям ни

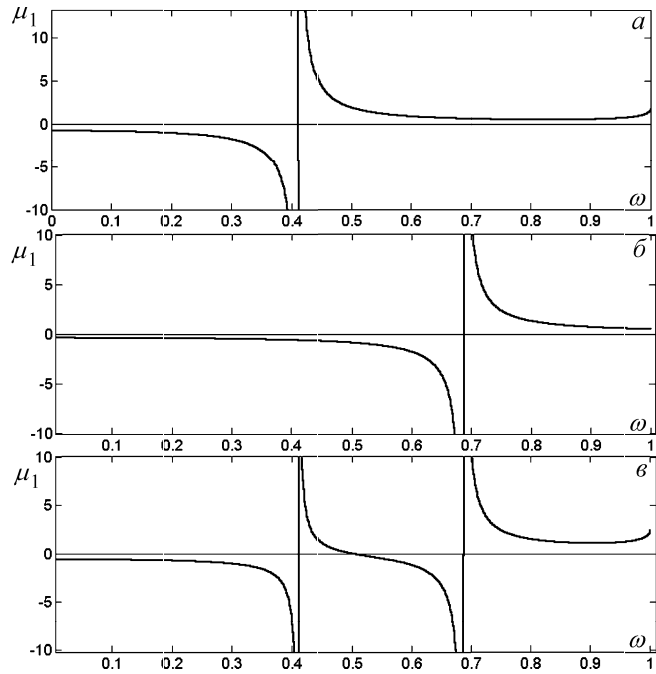


Рис. 4. График зависимости  $\mu_1$  от частоты  $\omega$  для:  
(a)  $f = f_0 \sin(\pi x/a)$ ; (б)  $f = f_0 \sin(2\pi x/a)$ ;  
(в)  $f = f_0 \sin(1.5\pi x/a)$

при одной резонансной частоте. Это можно наблюдать, например, при  $\varphi(x) = f_0 \sin(1.5\pi \frac{x}{a})$ .

Зависимость  $u(x)$  для различных частот представлена на рис. 5.

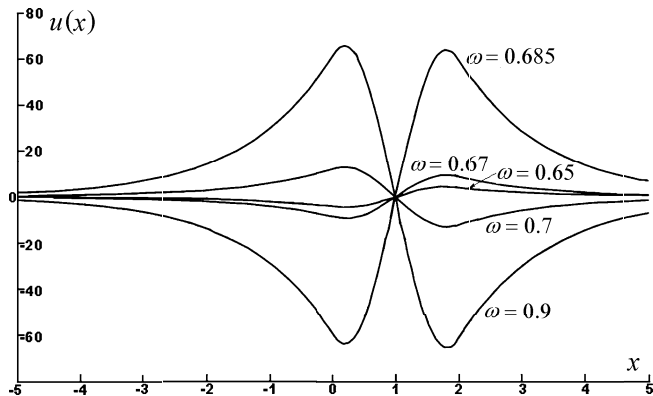


Рис. 5. График  $u(x)$  при  $f = f_0 \sin(2\pi x/a)$ ,  $q = 10$ ,  $\alpha = 1$

2. Область излучения  $\omega > \alpha$ . Возьмем носитель

$$\varphi(x) = f_0 \sin\left(2\pi \frac{x}{a}\right).$$

Решение существует при всех  $\omega$ . Если рассматривать зависимость амплитуды волны, выходящей из ловушки (т. е. поле  $u$  при  $x < 0$  и поле  $u$  при  $x > 2$ ),

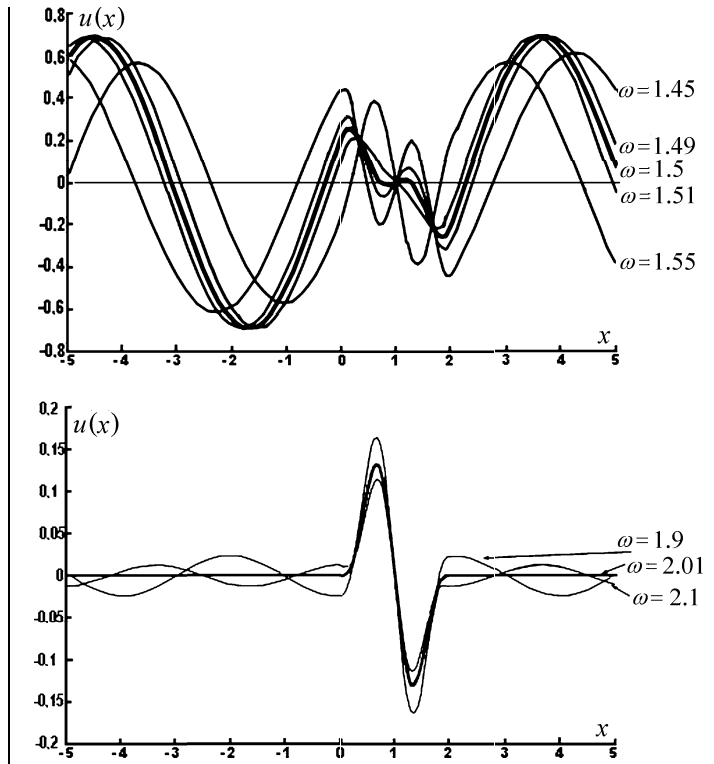


Рис. 6. График  $u(x)$  при  $f = f_0 \sin(2\pi x/a)$ ,  $q = 10$ ,  $\alpha = 1$   
для различных  $\omega$

от частоты, то можно увидеть максимумы и минимумы амплитуд (рис. 6). Таким образом, существуют частоты наилучшего и наихудшего пропускания.

Эти частоты не принадлежат резонансному множеству. Они обладают тем же свойством, что и резонансные в первой задаче, только этот эффект наблюдается и в дальней зоне. Главное их отличие от резонансных — это сильная зависимость от заданного тока.

## Литература

1. Werner P. // Z. Angew. Math. Mech. 1987. **67**, N 4. S. 43.
2. Боголюбов А.Н., Делицын А.Л., Малых М.Д. // Вестн. Моск. ун-та. Физ. Астрон. 2001. № 5. С. 23 (Moscow University Phys. Bull. 2001. N 5. P. 29).
3. Боголюбов А.Н., Малых М.Д., Свешников А.Г. // ЖБМиМФ. 2002. **42**, № 12. С. 1.
4. Боголюбов А.Н., Малых М.Д., Свешников А.Г. // Докл. РАН. 2002. **385**, № 6. С. 744.

Поступила в редакцию  
01.10.03